

Дифракция плоской сверхкороткоимпульсной электромагнитной волны на отверстии в проводящем экране

А.В. Кочетов, В.В. Никитин

ОАО «НПП «Радар ммс», Санкт-Петербург, Новосельковская, 37, radar@radar-mms.com.

Рассмотрена дифракция плоской сверхкороткоимпульсной (СКИ) электромагнитной волны на отверстии в плоском проводящем экране. Получены аналитические выражения для поля в дальней зоне с учетом пространственно-временной структуры падающей волны. Показано, что при уменьшении длительности короткого импульса электромагнитной волны, падающей на отверстие в проводящем экране, снижается уровень боковых лепестков в дальней зоне рассеянного электромагнитного поля.

Дифракция электромагнитных волн на различных объектах посвящено множество публикаций, описывающих различные методы решения данной задачи. Эти методы, как правило, относятся к возбуждению объектов гармоническими сигналами [1].

Развитие техники позволяет формировать сверхкороткие импульсы (СКИ) с широким спектром, а дифракция СКИ сигналов имеет значительные отличия от дифракции гармонических сигналов. Часто задачи рассеяния импульсов решаются численно переходом из частотной области во временную область [2]. Такой подход занимает достаточно много времени и не позволяет вывести аналитические соотношения, характеризующие рассеянное электромагнитное поле. Ниже получены аналитические выражения для рассеянного поля электромагнитной волны при дифракции СКИ на отверстии в плоском проводящем экране и позволяют рассчитать рассеянное электромагнитное поле в дальней зоне.

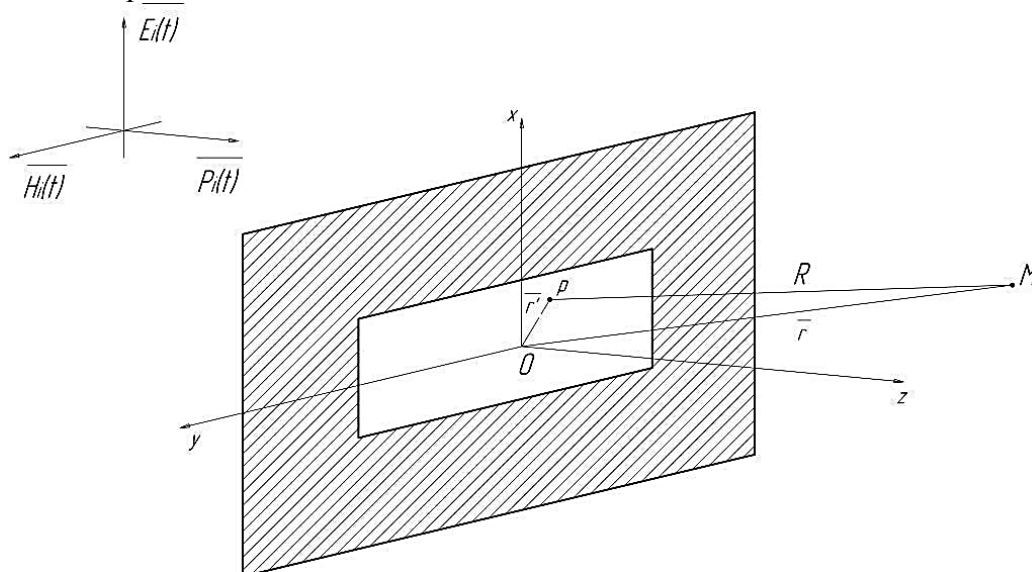


Рис. 1. Постановка задачи.

Рассмотрим дифракцию плоской электромагнитной волны на бесконечном проводящем экране с прямоугольным отверстием в нестационарном режиме (рис. 1.). Пусть экран расположен в плоскости $Z = 0$, а вектора напряженности электрического и магнитного поля описываются следующими выражениями:

$$\begin{aligned}\bar{E}_i(t, x, y, z) &= \bar{e}_x E_0 S_i(t - \frac{R(x, y, z)}{c}) \\ \bar{H}_i(t, x, y, z) &= \bar{e}_y E_0 S_i(t - \frac{R(x, y, z)}{c})\end{aligned}, \quad (1)$$

где $S_i(t)$ – временная зависимость амплитуды электромагнитного поля;

E_0, H_0 – амплитуда электрического и магнитного поля соответственно;

\bar{e}_x, \bar{e}_y – базисные вектора декартовой системы координат;

c – скорость света.

Рассчитаем электромагнитное поле, проникающее через экран.

Представим временную зависимость $S_i(t)$ как импульс Гаусса, длительностью τ по уровню $e^{-\beta}$ и высокочастотным заполнением f_0 :

$$S_i(t) = e^{-\beta(\frac{t}{\tau})^2 + j2\pi f_0 t}. \quad (2)$$

В соответствии с принципами геометрической оптики, будем считать, что поле на щели $z = 0_+$ не отличается от поля падающей волны, а поле на поверхности экрана равно нулю и определяется формулами:

$$\begin{aligned}\bar{E}_s(t, x, y, 0) &= \bar{e}_x E_0 S_i(t - \frac{R(x, y, 0)}{c}) \\ \bar{H}_s(t, x, y, 0) &= \bar{e}_y E_0 S_i(t - \frac{R(x, y, 0)}{c})\end{aligned} \quad \text{на поверхности щели}$$

и

$$\begin{aligned}\bar{E}_s(t, x, y, 0) &= 0 \\ \bar{H}_s(t, x, y, 0) &= 0\end{aligned} \quad \text{на поверхности экрана.}$$

Данное приближение справедливо только для отверстий, размеры которых значительно больше пространственной длительности импульса, так как оно не учитывает неравномерность поля на краях щели.

Для определения составляющих поля в области «тени» требуется вычислить векторный потенциал магнитного типа по известной формуле [1] для нестационарного режима:

$$\bar{F}(t, r, \theta, \varphi) = \frac{\epsilon_0}{4\pi} \int_V \frac{\bar{J}(t - \frac{r}{c})}{R} dV, \quad (3)$$

где $\bar{J}(t)$ – вектор плотности поверхностных магнитных токов;

V – объем, по которому протекают магнитные токи.

Расстояние между точкой интегрирования p , в которой протекает ток и точкой наблюдения M , (рис.1) определяется как:

$$R = \sqrt{r^2 + r'^2 - 2rr' \cos(r \wedge r')}, \quad (4)$$

где r – расстояние от начала координат до точки наблюдения;

r' – расстояние от начала координат до точки интегрирования;

$r \wedge r'$ – угол между векторами \bar{r} и \bar{r}' .

Вектор плотности поверхностных магнитных токов можно найти, воспользовавшись принципом эквивалентных токов, тогда:

$$\bar{J}(t, x, y) = 2[\bar{n}, \bar{E}_i(t, x, y, 0)],$$

где \bar{n} - внешняя нормаль к поверхности щели.

В дальней зоне с учетом приближения $r \gg r'$ расстояние $R \approx r - r' \cos(r \wedge r')$, или для декартовой системы координат:

$$R \approx r - \frac{x}{c} \sin(\theta) \cos(\varphi) - \frac{y}{c} \sin(\theta) \sin(\varphi).$$

Тогда векторный потенциал магнитного типа выражается следующим выражением:

$$\bar{F}(t, r, \theta, \varphi) = \frac{\varepsilon_0 \bar{e}_y E_0}{4\pi r} \int_{-a}^a \int_{-b}^b S_i \left(t - \frac{r}{c} + \frac{x}{c} \sin(\theta) \cos(\varphi) + \frac{y}{c} \sin(\theta) \sin(\varphi) \right) dy dx, \quad (5)$$

где a, b - размеры щели.

Чтобы вычислить интеграл по одной из координат можно свести его к преобразованию Фурье от функции Гаусса, а затем разложить в степенной ряд и взять интеграл по второй координате.

После преобразований векторный потенциал магнитного типа приобретает вид:

$$\bar{F}(t, r, \theta, \varphi) = \frac{\varepsilon_0 \bar{e}_y E_0 e^{-\frac{\pi^2 f_0^2 \tau^2}{\beta}} (c\tau)^2}{2\pi r \beta \sin^2(\theta) \sin(\varphi) \cos(\varphi)} \sum_{k=0}^{\infty} \frac{(-1)^k}{n!(2k+1)(2k+2)} \times$$

$$\times \left\{ \frac{\sqrt{\beta}}{\tau} \left(t - \frac{r}{c} + \frac{x}{c} \sin(\theta) \cos(\varphi) + \frac{y}{c} \sin(\theta) \sin(\varphi) \right) - \frac{j\pi f_0 \tau}{\sqrt{\beta}} \right\}^{2k+2} \Bigg|_{x=-a}^a \Bigg|_{y=-b}^b. \quad (6)$$

Рассеянное электрическое поле определяется из выражения

$$\bar{E}_s(t, r, \theta, \varphi) = \frac{1}{\varepsilon_0} \text{rot}(\bar{F}(t, r, \theta, \varphi)),$$

поэтому выразим вектор \bar{e}_y декартовой системы координат через базисные вектора сферической системы координат:

$$\bar{e}_y = \bar{e}_r \sin(\theta) \sin(\varphi) + \bar{e}_\theta \cos(\theta) \sin(\varphi) + \bar{e}_\varphi \cos(\varphi).$$

Тогда составляющие напряженности электрического поля будут определяться выражениями:

$$E_r(t, r, \theta, \varphi) = \frac{1}{r \sin(\theta)} \left\{ \frac{\partial}{\partial \theta} (\sin(\theta) \cos(\varphi) \bar{F}(t, r, \theta, \varphi)) - \frac{\partial}{\partial \varphi} (\cos(\theta) \sin(\varphi) \bar{F}(t, r, \theta, \varphi)) \right\}$$

$$E_\theta(t, r, \theta, \varphi) = \frac{1}{r \sin(\theta)} \left\{ \frac{\partial}{\partial \varphi} (\sin(\theta) \sin(\varphi) \bar{F}(t, r, \theta, \varphi)) - \frac{\partial}{\partial r} (\sin(\theta) \cos(\varphi) r \bar{F}(t, r, \theta, \varphi)) \right\}$$

$$E_\varphi(t, r, \theta, \varphi) = \frac{1}{r} \left\{ \frac{\partial}{\partial r} (\cos(\theta) \sin(\varphi) r \bar{F}(t, r, \theta, \varphi)) - \frac{\partial}{\partial \theta} (\sin(\theta) \sin(\varphi) \bar{F}(t, r, \theta, \varphi)) \right\}.$$

В дальней зоне имеют смысл только те компоненты поля, которые убывают по закону $\frac{1}{r}$, т.е. компоненты электрического поля в дальней зоне примут вид:

$$E_r(t, r, \theta, \varphi) = 0, \quad (7)$$

$$E_\theta(t, r, \theta, \varphi) = \frac{\cos(\varphi)}{r} \left\{ \frac{\partial}{\partial r} (r \bar{F}(t, r, \theta, \varphi)) \right\}, \quad (8)$$

$$E_\varphi(t, r, \theta, \varphi) = \frac{\cos(\theta) \sin(\varphi)}{r} \left\{ \frac{\partial}{\partial r} (r \bar{F}(t, r, \theta, \varphi)) \right\}, \quad (9)$$

где

$$\frac{\partial}{\partial r}(rF(t,r,\theta,\varphi)) = \frac{E_0 e^{-\frac{\pi^2 f_0^2 r^2}{\beta}} c \tau}{\sqrt{\pi r} \sqrt{\beta} \sin(\theta)^2 \sin(\theta) \cos(\varphi)} \times$$

$$\times \operatorname{erf} \left\{ \frac{\sqrt{\beta}}{\tau} \left(t - \frac{r}{c} + \frac{x}{c} \sin(\theta) \cos(\varphi) + \frac{y}{c} \sin(\theta) \sin(\varphi) \right) - \frac{j \pi f_0 \tau}{\sqrt{\beta}} \right\} \Bigg|_{x=-a}^a \Bigg|_{y=-b}^b. \quad (10)$$

В последнем выражении $\operatorname{erf}(x)$ - функция вероятности ошибок.

Исследуем поведение рассеянного поля в заднем полупространстве за экраном, при этом будем менять длительность огибающей импульса Гаусса τ , а частоту сигнала заполнения f_0 оставим постоянной, например, 10 ГГц.

На рис. 2 и 3 приведены возбуждающие импульсы и импульсы рассеянные, при трех различных значениях произведения $f_0 \tau$.

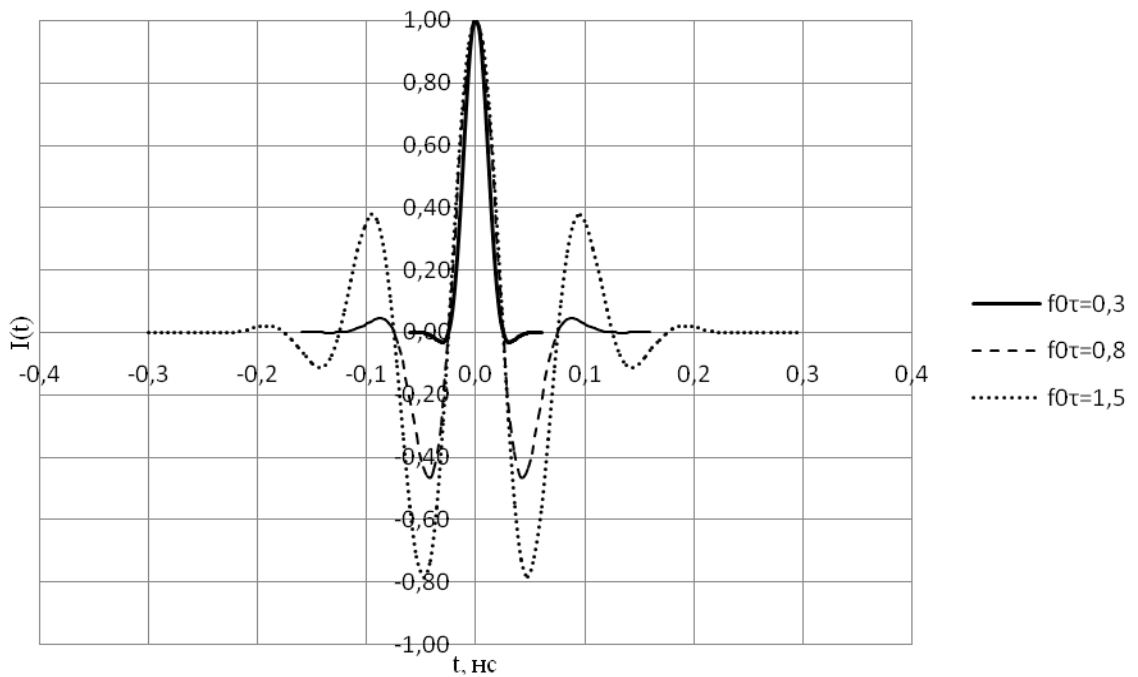


Рис 2. Возбуждающий импульс при разном значении $f_0 \tau$.

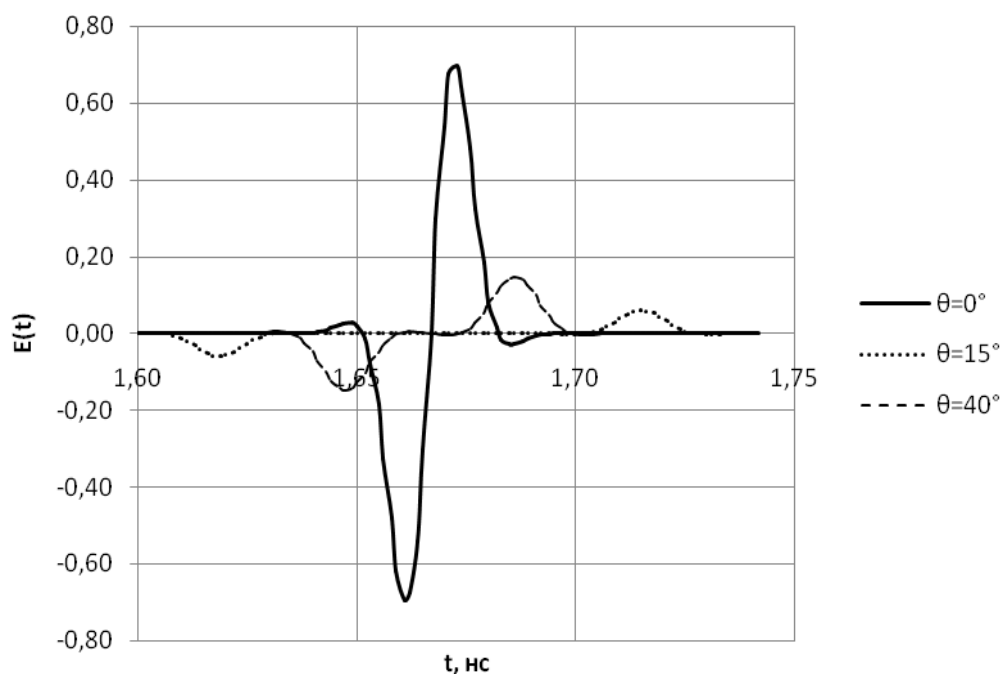


Рис. 3а. Импульсы рассеянного поля в разных направлениях при $f_0\tau = 0,3$.

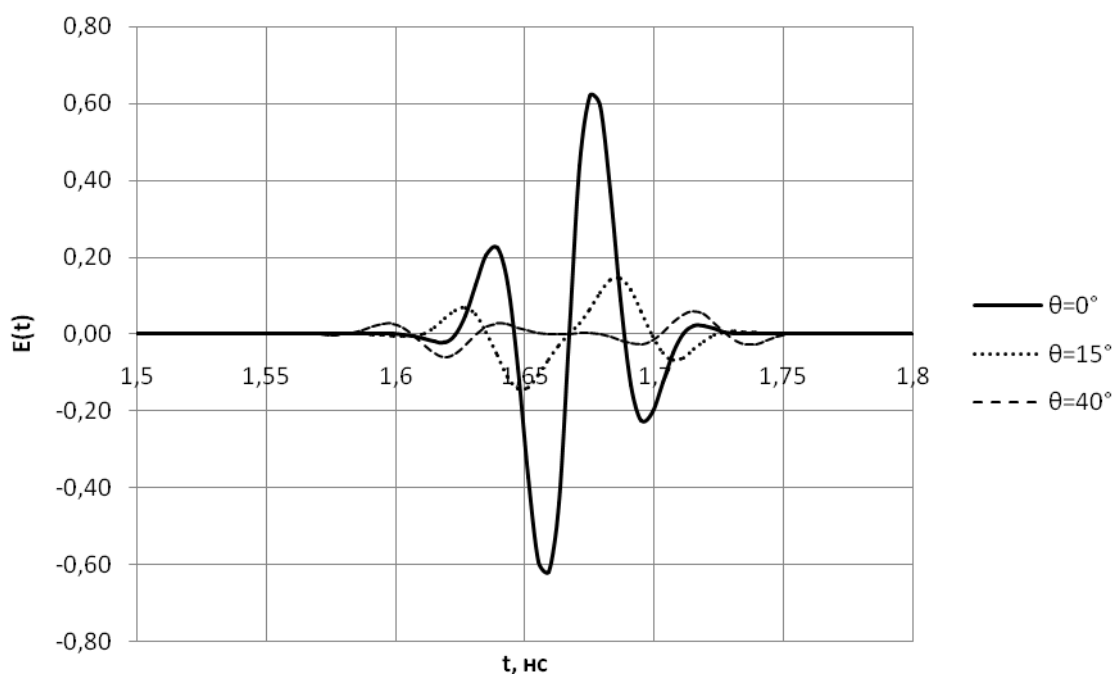


Рис. 3б. Импульсы рассеянного поля в разных направлениях при $f_0\tau = 0,8$.

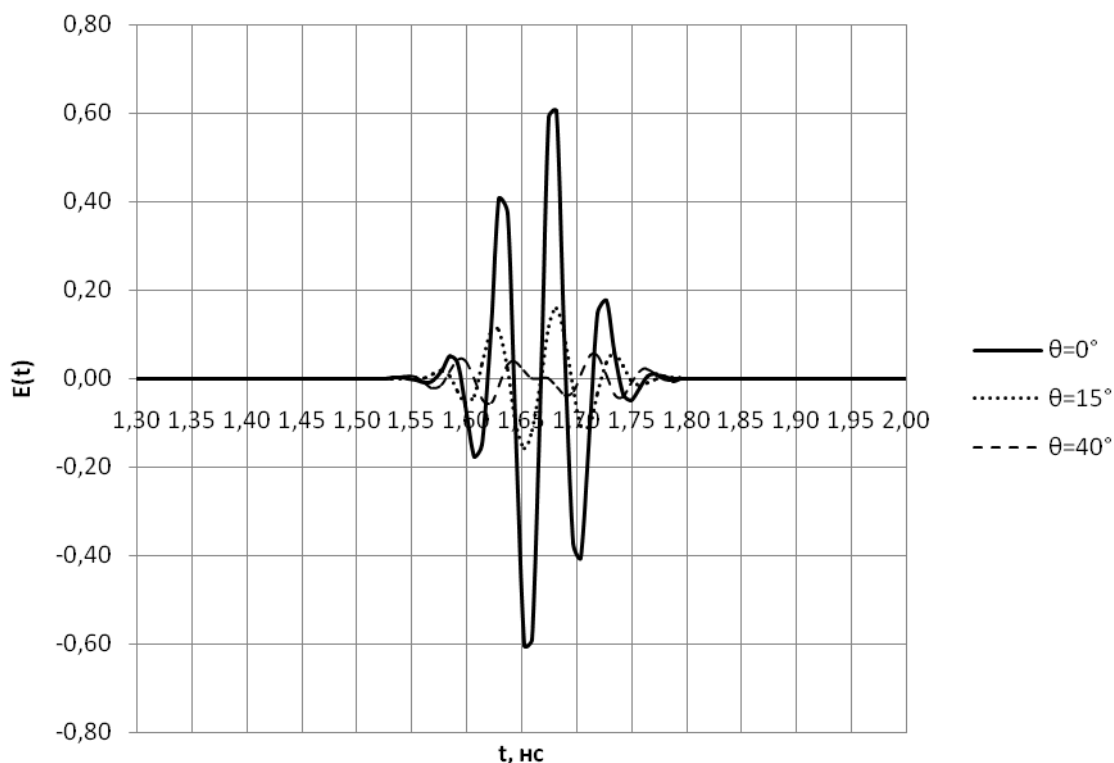


Рис. 3в. Импульсы рассеянного поля в разных направлениях при $f_0\tau = 1,5$.

На рис. 3. видно, что в направлении перпендикулярном к щели рассеянный сигнал имеет форму первой производной от излученного сигнала. При отклонении от нормали сигнал начинает раздваиваться и разделяется на две части.

Построим теперь импульсную диаграмму направленности (ДН) щелевой антенны с размерами $a=45$ мм $b=30$ мм в полупространстве $z>0$ (рис. 4, 5). Импульсную ДН определим как пространственную зависимость значения огибающей излученного сигнала в момент времени $t = \frac{r_0}{c_0}$, где r_0 - расстояние от фазового центра антенны до точки наблюдения.

Из рис. 4, 5 следует, что при увеличении значения $f_0\tau$ импульсная диаграмма по уровню минус 3 дБ расширяется, а боковые лепестки резко возрастают, что связано с относительным уменьшением полосы возбуждающего сигнала и приближением его к гармоническому. Аналогичные явления можно наблюдать на пространственно-временной диаграмме направленности (рис. 6.), характеризующей электромагнитное поле в пространстве и времени.

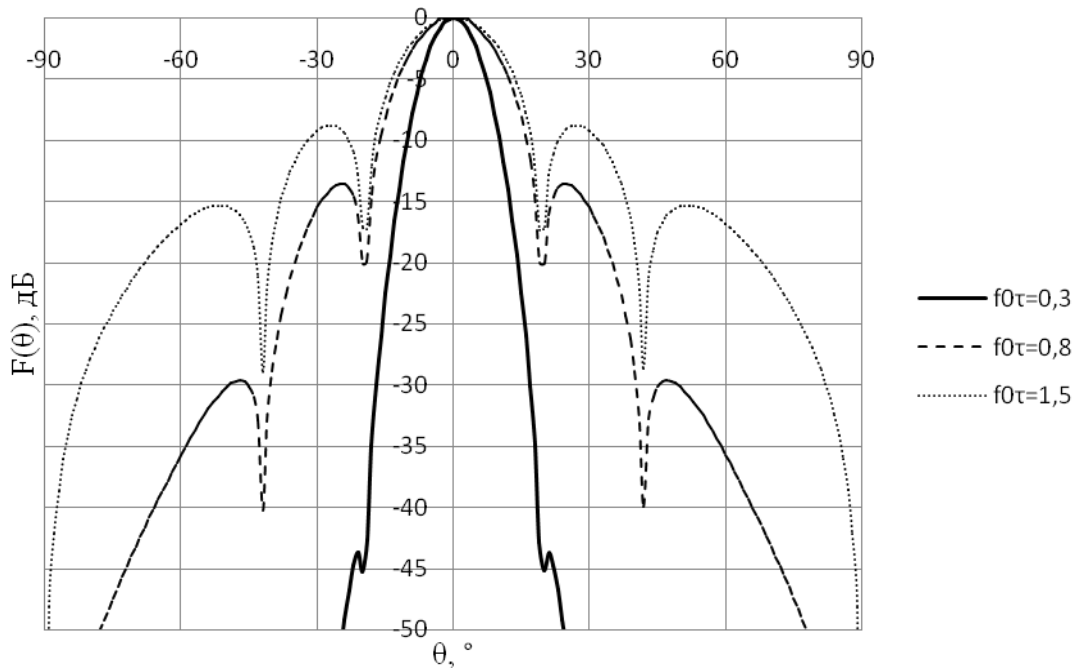


Рис. 4. Импульсная ДН в Е-плоскости.

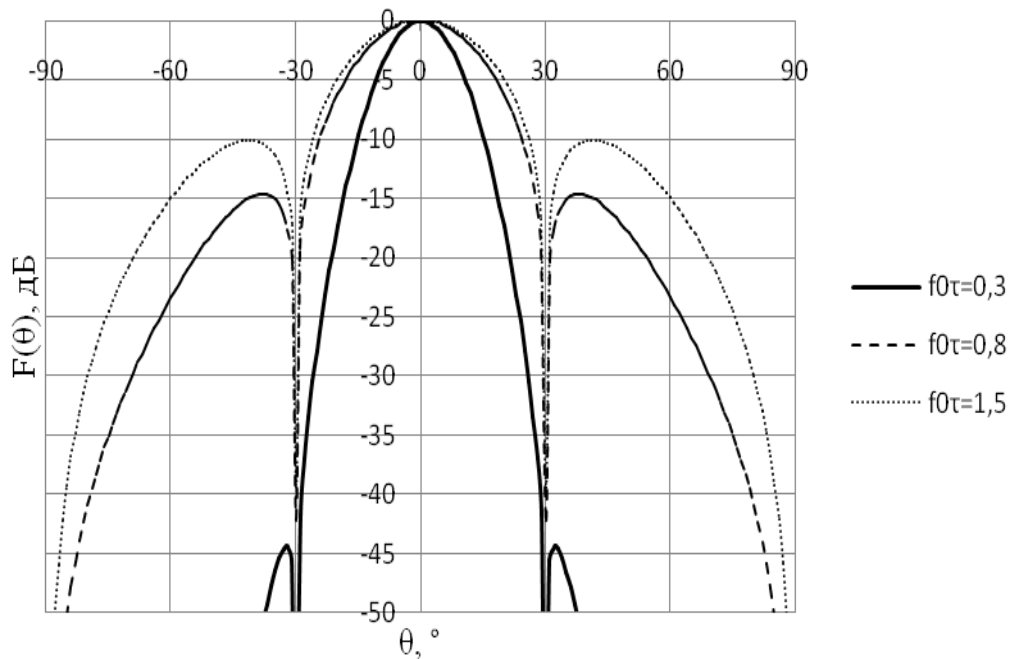
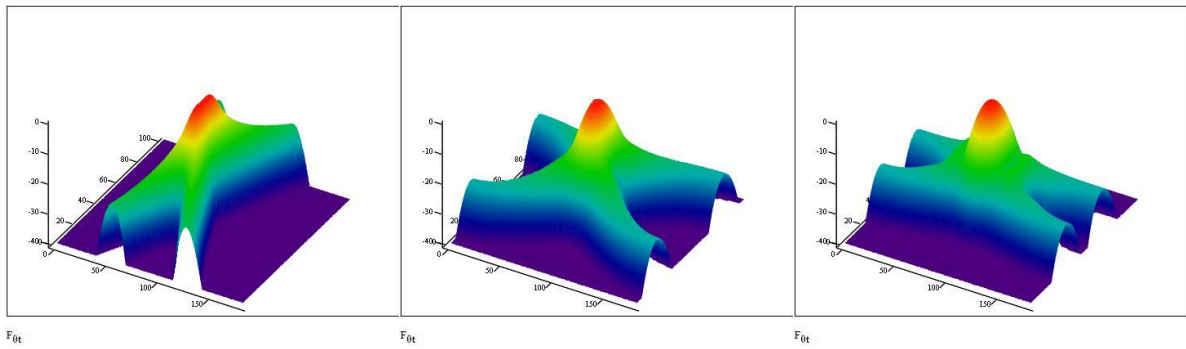


Рис. 5. Импульсная ДН в Н-плоскости.

Из рис. 6. следует, что при малом значении $f_0\tau$ в области боковых лепестков огибающая излученного сигнала имеет два максимума разнесенных по времени. В момент наблюдения максимума (в момент времени $t = \frac{r_0}{c_0}$) сигнал в области боковых лепестков равен нулю



а) $f_0\tau = 0,3$

б) $f_0\tau = 0,8$

в) $f_0\tau = 1,5$

Рис. 6. Пространственно-временная ДН.

Изменение возбуждающего сигнала приводит к изменению временного расположения пиковых значения напряженности рассеянного поля, что может привести к интерференции электромагнитного поля и формированию дифракционных лепестков (рис. 6в).

Убедимся, что при переходе к гармоническому сигналу (при $\tau \rightarrow \infty$) из формулы (10) вытекают известные выражения. При стремлении аргумента к бесконечности функция вероятности ошибок асимптотически приобретает вид $erf(x) \rightarrow Ae^{-x^2}$ [3], где A – постоянный множитель. После математических преобразований получим:

$$\frac{\partial}{\partial r}(rF(t, r, \theta, \varphi)) = \frac{E_0 c \tau A e^{-j2\pi f_0(t-\frac{r}{c})} \sin(2\pi f_0 \frac{a}{c} \sin(\theta) \cos(\varphi)) \sin(2\pi f_0 \sin(\theta) \cos(\varphi))}{\sqrt{\pi r} \sqrt{\beta} \sin(\theta)^2 \sin(\theta) \cos(\varphi)}$$

Подстановка полученного выражения в формулы (8), (9) дает зависимость для электрического поля в дальней зоне при возбуждении прямоугольной щели гармоническим сигналом.

Литература

1. Гольдштейн Л. Д., Зернов Н. В. Электромагнитные поля и волны. М.: Советское радио, 1971. 664 с.
2. Астайкин М. А., Пермяков В. А. Об излучении сверхкоротких импульсов через малые отверстия. 3 Всероссийская конференция «Сверхширокополосные сигналы в радиолокации, связи и акустике», 2010.
3. Копсон Э. Т. Асимптотические разложения. М.: Мир, 1966. 160 с.